

# SUIVI IN VIVO DES NANOMEDICAMENTS: LES TECHNOLOGIES OPTIQUES EMERGENTES

**PATRICK POULET**

Laboratoire des Sciences de l'Ingénieur, de l'Informatique et  
de l'Imagerie, UMR 7357 Université de Strasbourg / CNRS

[p.poulet@unistra.fr](mailto:p.poulet@unistra.fr)



# Plan de l'exposé

Introduction: Optique médicales et Nanoparticules

1. Principes généraux pour une détection/imagerie optique

Propagation de la lumière dans les tissus  
Absorption, fluorescence et photoacoustique

2. Apport des nanoparticules

3. Conclusions et perspectives

Illustrations: exemples d'application

détection optique des ganglions sentinelles  
chirurgie mini-invasive guidée par l'imagerie optique

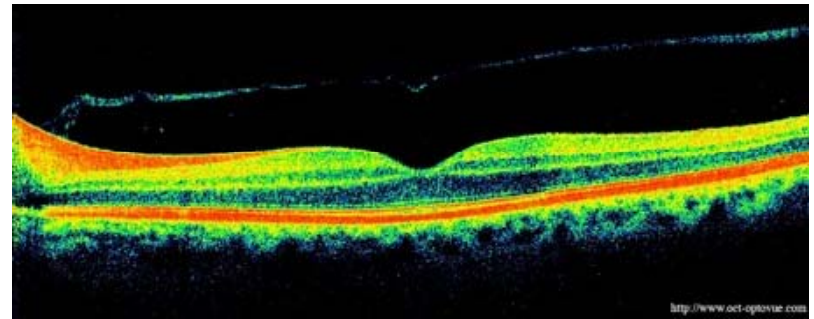
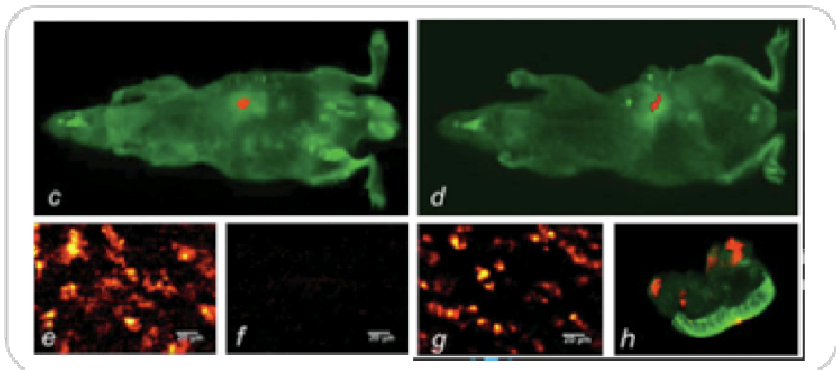
# L'imagerie optique médicale

- De l'examen anatomopathologie: analyse au microscope de cellules ou de tissus prélevés

à la biopsie optique non invasive.

- De la microscopie in vivo
  - Confocale (fibrée), biphotonique < mm
  - OCT (endoscopique): > mm

à l'imagerie optique 3D profonde.

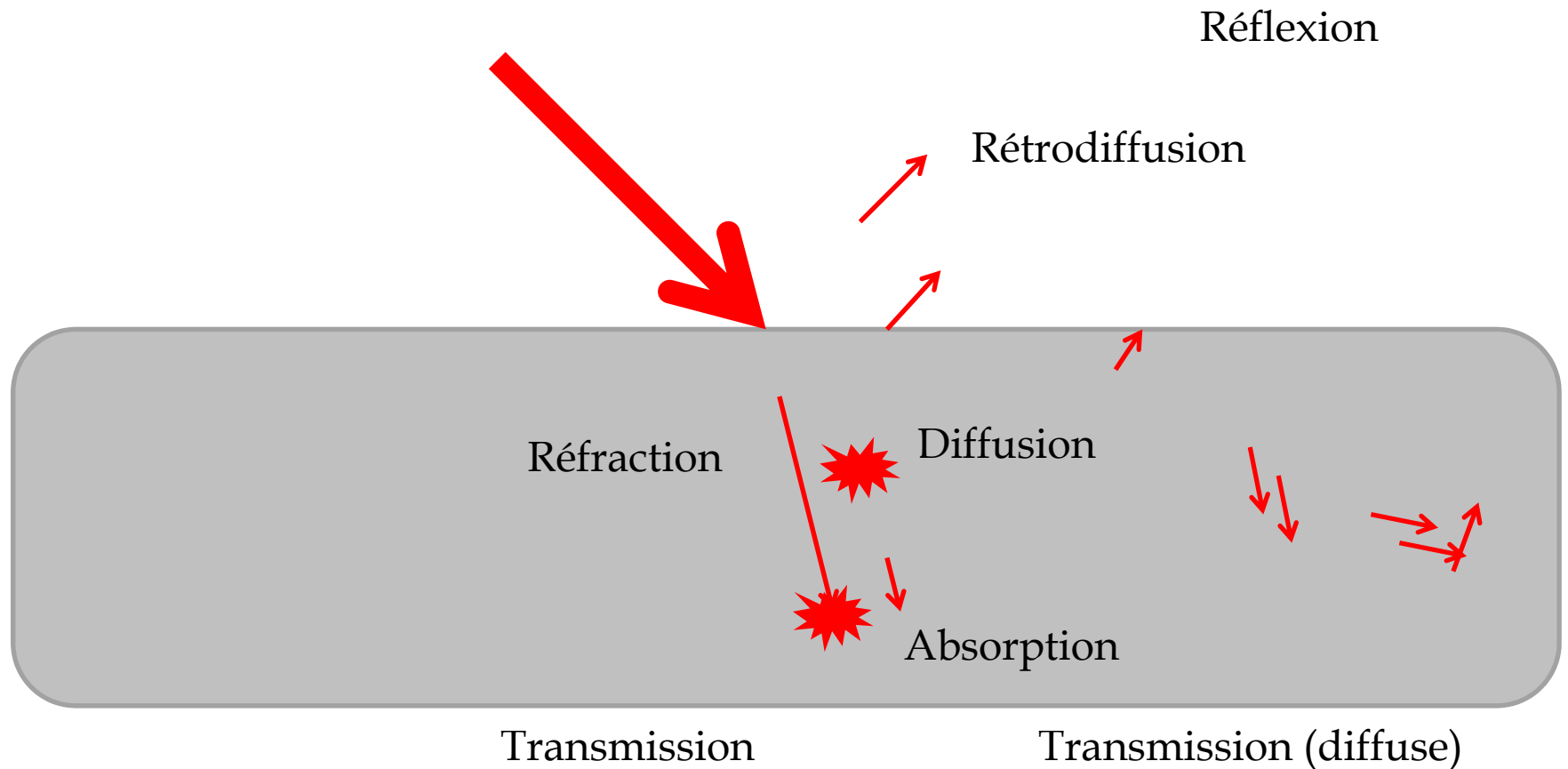


Cellvizio<sup>®</sup>, Endomicroscopie Confocale par Minisondes. Document Mauna Kea.

<http://www.oct-optovue.com/>

# L'imagerie optique médicale

- Interactions lumière matière



# Absorption et diffusion

## Définitions

Coefficient d'absorption:  $\mu_a = 1/L_a$

$L_a$ : longueur moyenne de propagation avant absorption

Coefficient de diffusion:  $\mu_s = 1/L_s$

$L_s$ : longueur moyenne de propagation entre 2 diffusions

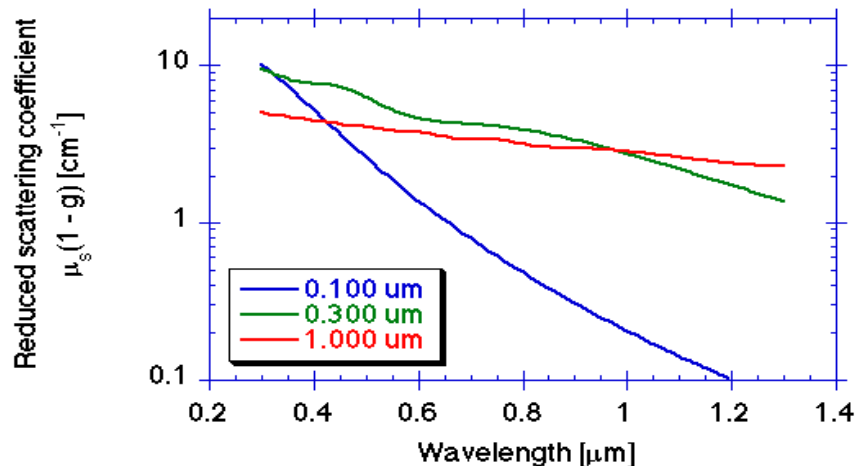
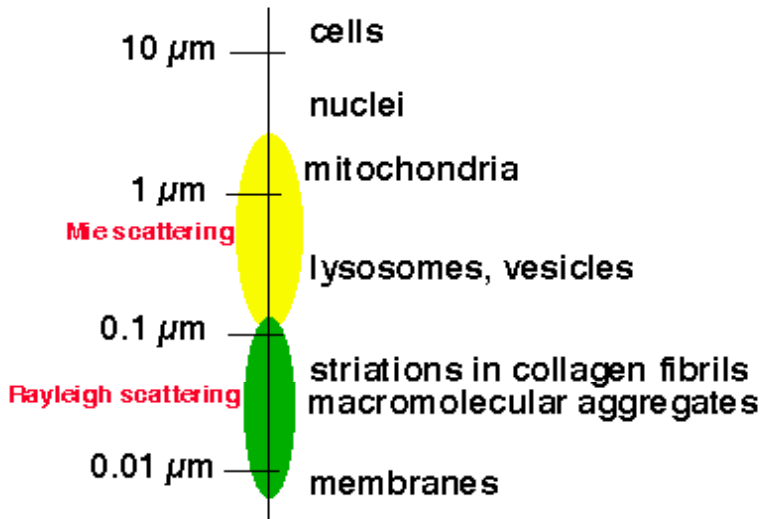
Coefficient de diffusion réduit:  $\mu'_s = (1-g) \cdot \mu_s = 1/L'_s$

$g = \cos(\theta)$ ,  $\theta$ : angle moyen de diffusion

$L'_s$ : longueur moyenne de propagation avant perte orientation initiale (= diffusion isotrope)

# Absorption et diffusion

- Diffusion des tissus
  - Toute surface avec rupture d'indice de réfraction
  - Diffusion (scattering) = réflexion + réfraction + diffraction
  - $\mu'_s(\lambda) = f(\lambda, \Delta n, C, \Phi \text{ des particules})$



Sphères  $n_p = 1.57$  dans eau ( $n = 1.33$ )  
 $C = 0.1\%$  volume

# Absorption et diffusion

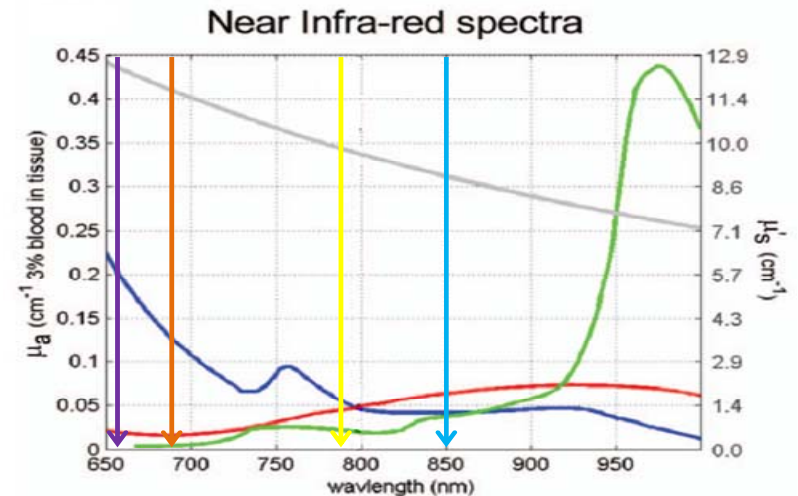
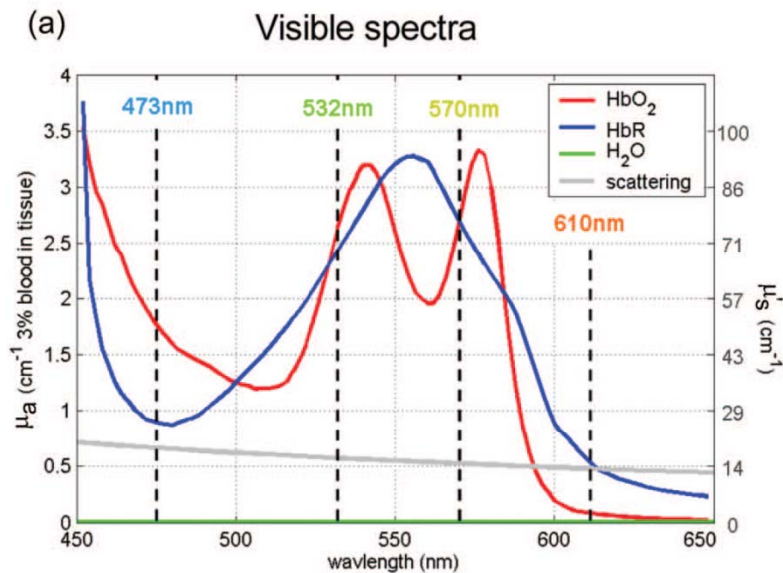
## □ Absorption des tissus

■ Sang (hémoglobine)

Eau

Graisse

■  $\mu_a(\lambda) = \ln(10) \cdot (\sum \epsilon_i(\lambda) \cdot C_i)$   $C_i$  concentration du chromophore  $i$



Eau (vert), Hb (bleu) et HbO<sub>2</sub> (rouge)

E.M.C. Hillman JBO (2007)

# Absorption et diffusion

## Proche infrarouge

Fenêtre diagnostique  
(680 à 900 nm)

- faible absorption (sang, eau ...)
- faible diffusion (tissus hétérogènes) (/ visible)

$$\mu_a < 0,01 \text{ mm}^{-1} \quad L_a > 100 \text{ mm}$$

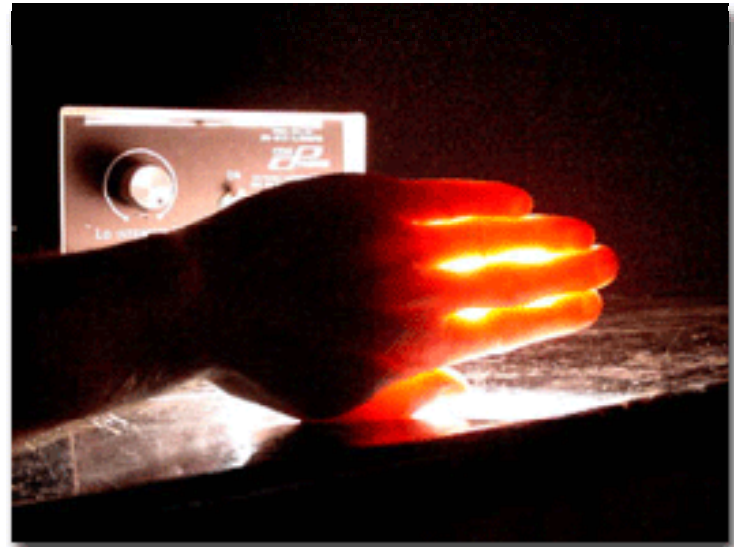
Mais

$$\mu'_s > 1 \text{ mm}^{-1} \quad L'_s < 1 \text{ mm}$$

Bonne profondeur de pénétration, mais non connaissance  
des trajets parcourus

# L'imagerie optique médicale

Bonne profondeur de pénétration, mais non connaissance des trajets parcourus



Imagerie optique  
Acquisition tomographique + Reconstruction  
Problème difficile  
Outils technologiques + Agents de contraste.

# L'imagerie optique médicale

## □ Imagerie optique

- Acquisition tomographique (TOD / FTOD)
- Reconstruction des images d'absorption et diffusion
  - Apports technologiques (Techniques Résolues en Temps)

## □ Imagerie fonctionnelle

- Contraste intrinsèque: oxymétrie, perfusion
- Agents de contraste
  - Biodistribution, pharmacocinétique
  - Simplification du problème de reconstruction (multimodalité, détection fond noir, ...)

# Reconstruction en TOD

## 1° Objet homogène

Point source interne, détecteur en surface

**Question:** Quel est le chemin des photons ?

**Réponse:** Carte de sensibilité.

Probabilité des chemins suivis par les photons détectés.

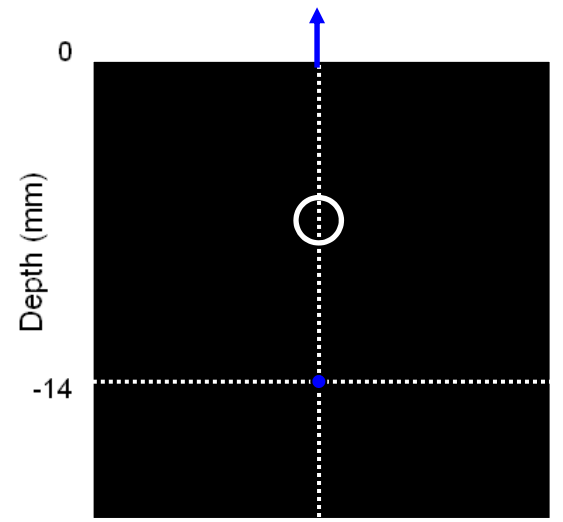
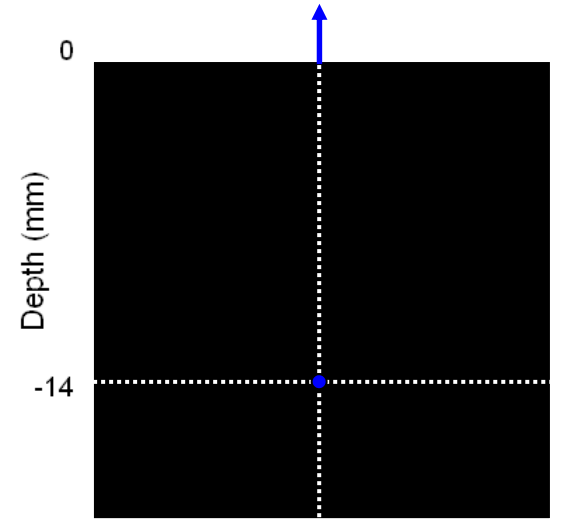
## 2° Présence d'une zone + absorbante

La carte de sensibilité est modifiée !

Le volume entier est exploré selon les propriétés optiques des tissus (que l'on veut déterminer).

## Conclusion

L'obtention des cartes des propriétés optiques et de la localisation de sources (fluorescence) requiert une acquisition tomographique et une étape de reconstruction complexe.



# Reconstruction en TOD (FTOD)

➤ Approximation de diffusion: si  $\mu'_s \gg \mu_a$

Et nombreux évènements de diffusion avant détection

Densité de photons  $\phi$

• Equation de diffusion: 
$$\frac{\partial \phi}{\partial t} - \nabla \kappa \nabla \phi + \mu_a c \phi = -q(t, r_0)$$

$q_0$  : source de lumière     $\kappa = c/3(\mu_a + \mu'_s)$

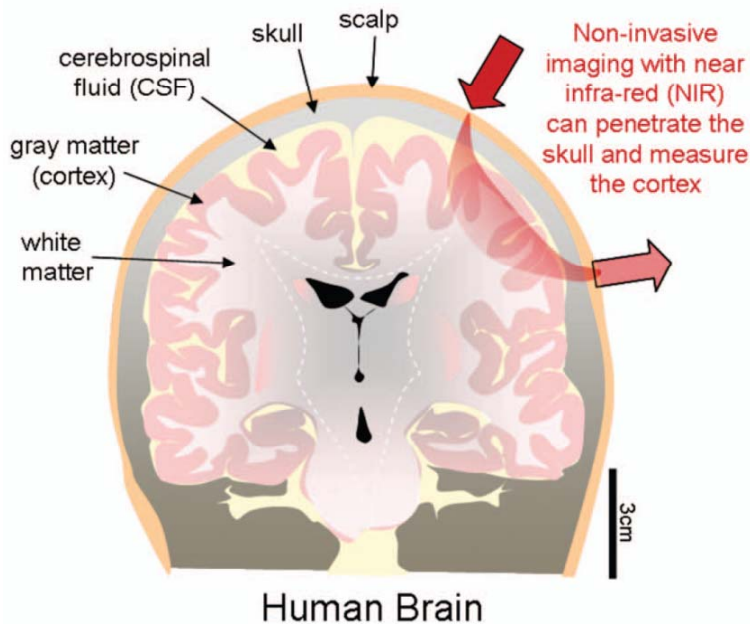
• Fluorescence: 
$$\frac{\partial \phi_2}{\partial t} - \nabla \kappa \nabla \phi_2 + \mu_a c \phi_2 = -\frac{\eta c}{\tau} (\phi \otimes e^{-t/\tau})$$

$\eta$  : rendement quantique,  $\tau$  : temps de vie de fluorescence

➤ Outils informatiques adaptés mais problème mal posé. Frein au développement de la TOD !

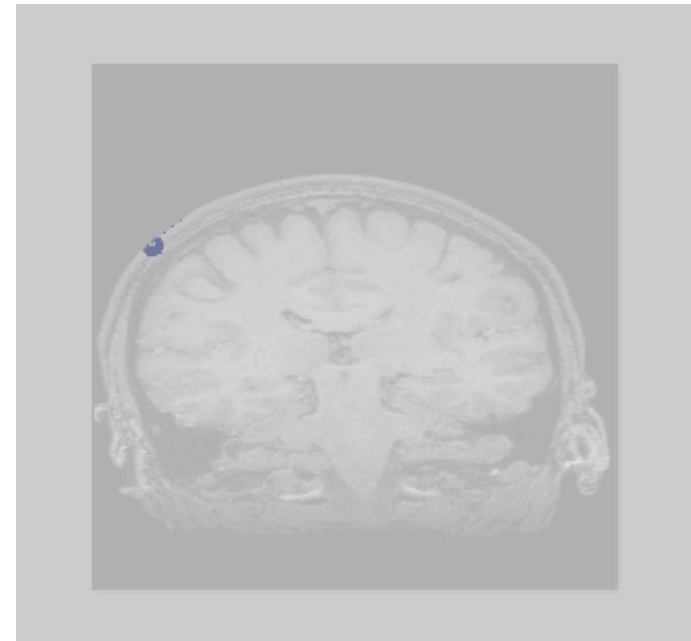
# Absorption et diffusion

## Pénétration de la lumière proche infrarouge dans le crâne



	$\mu_a$ ( $\text{mm}^{-1}$ )	$\mu_s'$ ( $\text{mm}^{-1}$ )
Peau	0,018	1,9
Crâne	0,016	1,6
Méninges	0,004	0,24
Matière grise	0,036	2,2
Matière blanche	0,014	9,1

## Propriétés optiques à 800 nm

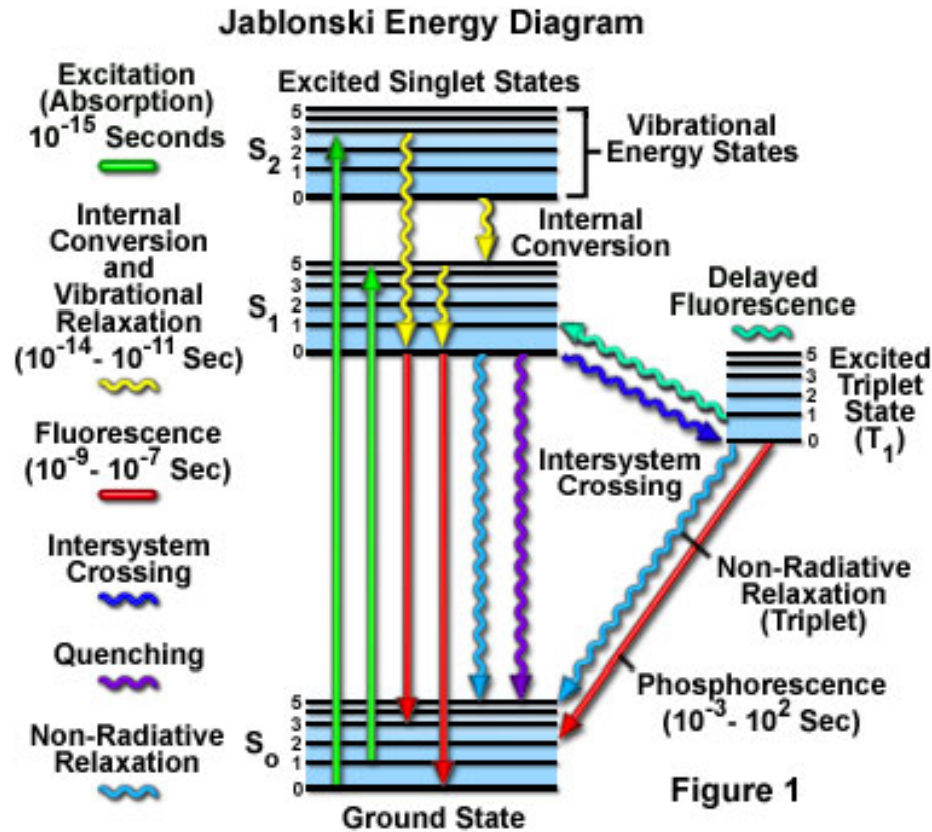


# Agents de contraste

- Interactions marqueur – lumière
  - Cartes de diffusion et et d'absorption (agent de contraste et tissus) par détection tomographique des photons diffusés par les tissus.
  - Evolution de l'énergie absorbée (marquage, bilan énergétique ?)
    - Détection tomographiques des photons de fluorescence
      - Liaisons et activation des marqueurs, temps de vie ...
    - Détection des transitions non radiatives (conversion en chaleur) par effet photoacoustique
    - Réactions photochimiques (PDT)

# Détection d'un agent de contraste

- Interactions marqueur – lumière



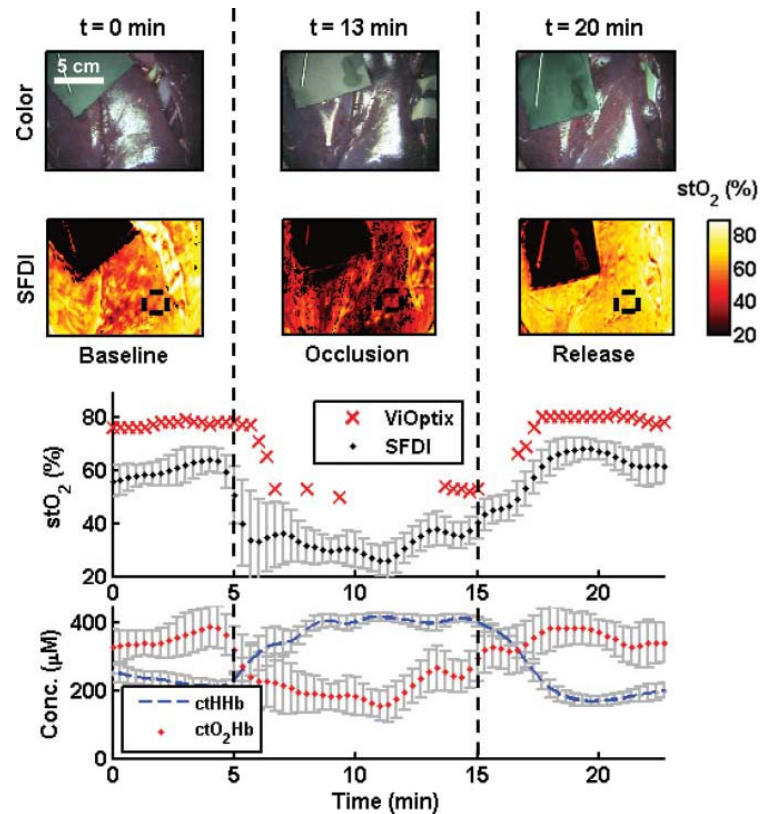
# Détection des photons diffusés

□ Actuel:

Spectroscopie proche infrarouge (Oxymétrie tissulaire)

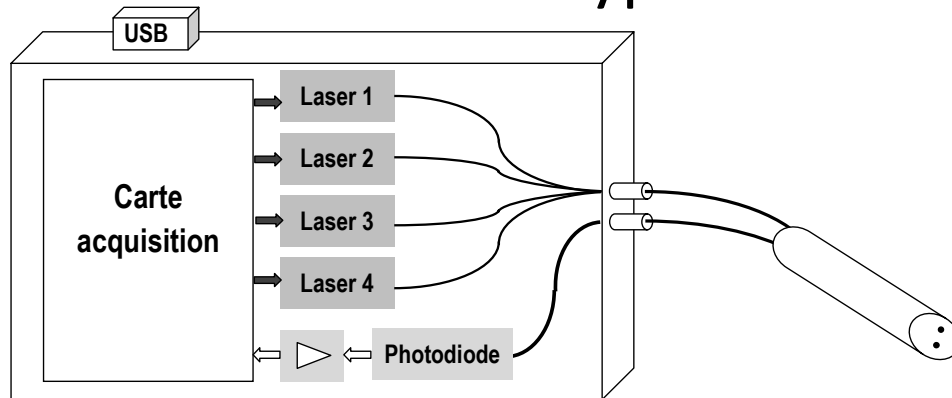
□ Evolution:

Imagerie Multispectrale

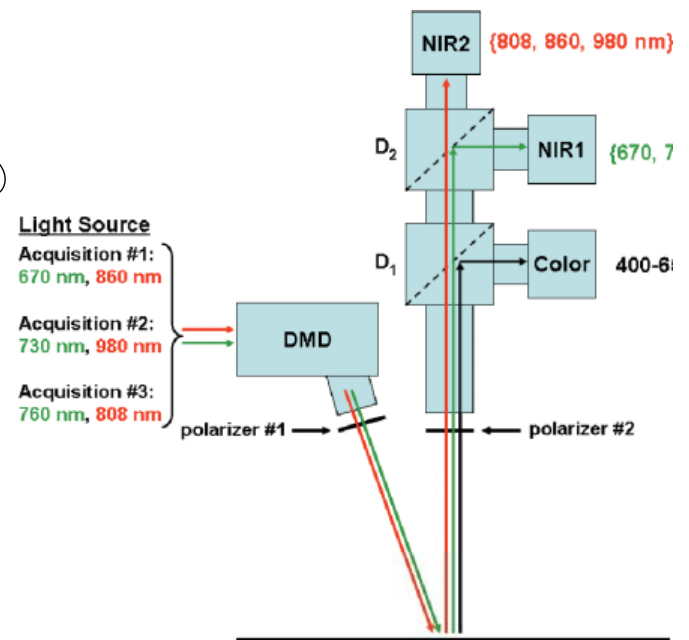
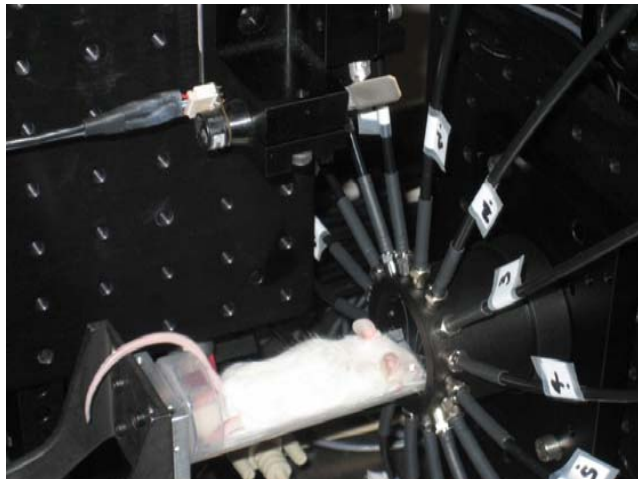


# Détection des photons diffusés

## □ Instrumentation type



Tellier F. et al Optdiag 2011



Gioux S. et al JBO 2011

Poulet P. et al NIMA 2006

# Détection des photons diffusés

## □ Avantages et Limites

+ Sensibilité

$\mu_a$  tissus  $\approx 5 \cdot 10^{-3} \text{ mm}^{-1}$  et Coef. Extinction molaire  $\approx 10^5 \text{ mol}^{-1} \cdot \text{L} \cdot \text{cm}^{-1}$

$\Rightarrow C_{\text{equiv.}} \approx 0,2 \text{ } \mu\text{mol/L}$

Sensibilité de détection  $\approx 2 \text{ nmol/L}$

+ Dynamique élevée

- Non Linéarité (loi de Beer Lambert non valable en milieu diffusant)
- Quantification non encore possible (tomographie requise)
- Mauvaise résolution spatiale (tomographie requise)
- Absorption du marqueur et des chromophores intrinsèques (analyse multispectrale)

# Détection par fluorescence

- Actuel:

Angiographie de fluorescence (ophtalmo) au vert d'indocyanine (ICG)

Imagerie préclinique (2D et 3D)

- En évaluation:

Guidage opératoire par imagerie de l'ICG

- détection du ganglion sentinelle

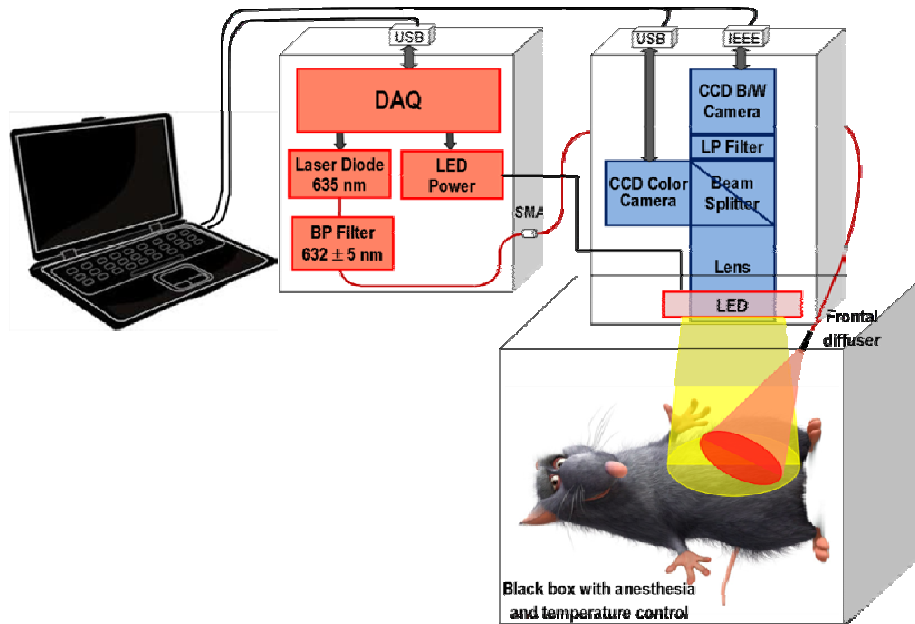
- laparoscopie

- Evolution:

Utilisation de nouveaux marqueurs (spécifiques) molécules et nanoparticules fluorescentes

# Détection par fluorescence

- Instrumentation type (2D)



# Détection par fluorescence

## □ Avantages et Limites

### + Sensibilité

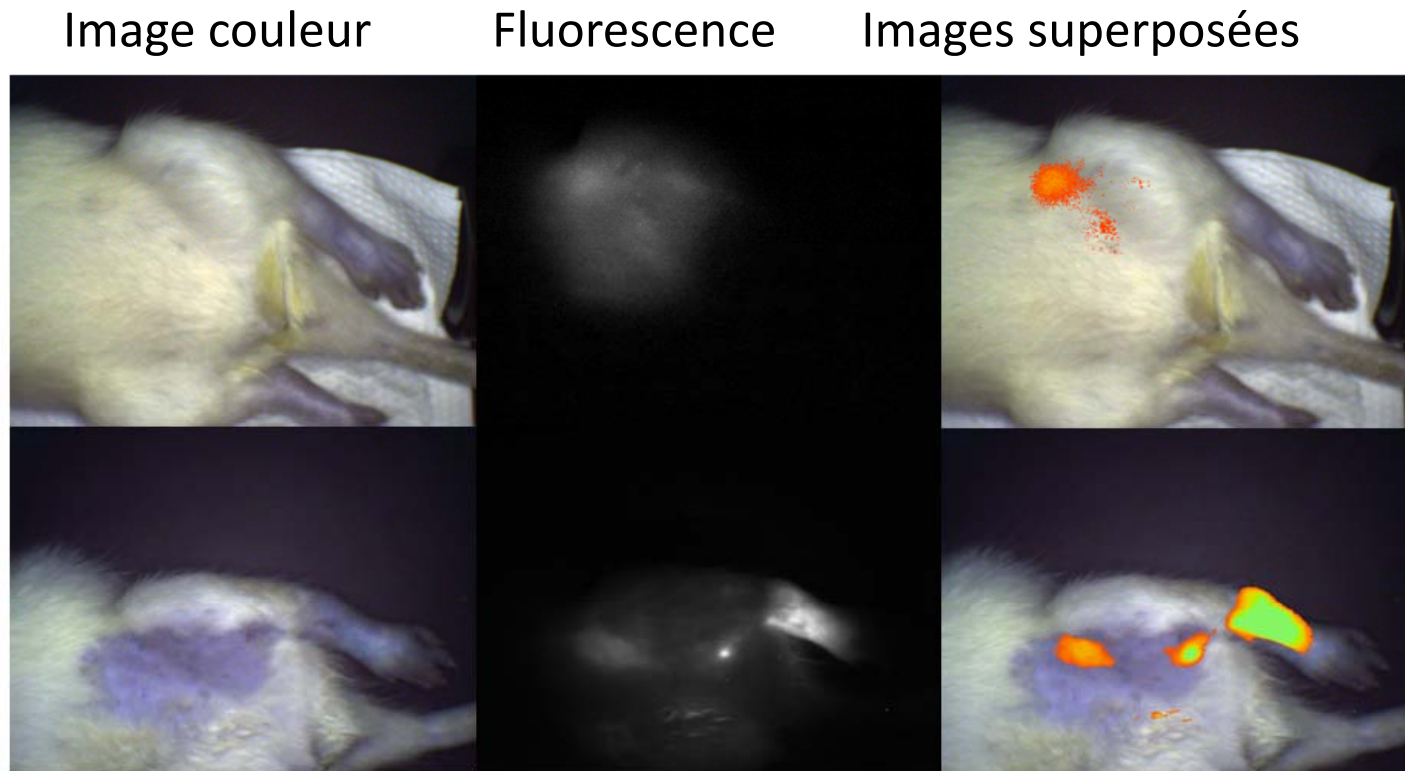
Sensibilité de détection  $\approx$  ou  $< 1$  nmol/L

### + Marquage spécifique

- Dynamique limitée (auto-absorption)
- Non Linéarité (absorption/diffusion et autoabs.)
- Quantification difficile
- Mauvaise résolution spatiale (tomographie requise)
- Auto-fluorescence des tissus (faible dans le PIR)
- Puissance surfacique d'illumination requise

# Exemple: Bleu Patenté V

## □ Résultats chez l'animal



Images de fluorescence PBV dans l'albumine sérique de rat (500  $\mu$ L).  
(haut) : [PBV] = 20  $\mu$ mol/L (bas) [PBV] = 500  $\mu$ mol/L, rat épile.

# Exemple: Vert d'indocyanine

- Imagerie de fluorescence à l'ICG

Color

Fluorescence

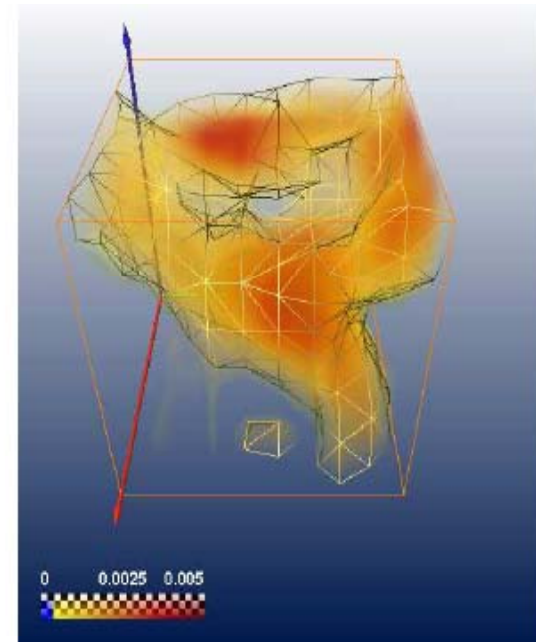
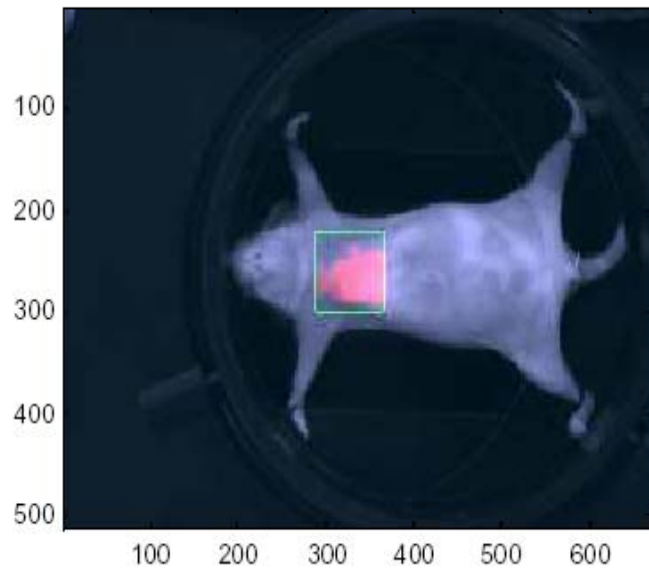
Merged



Injection Site ICG  
Lymphatic Channels

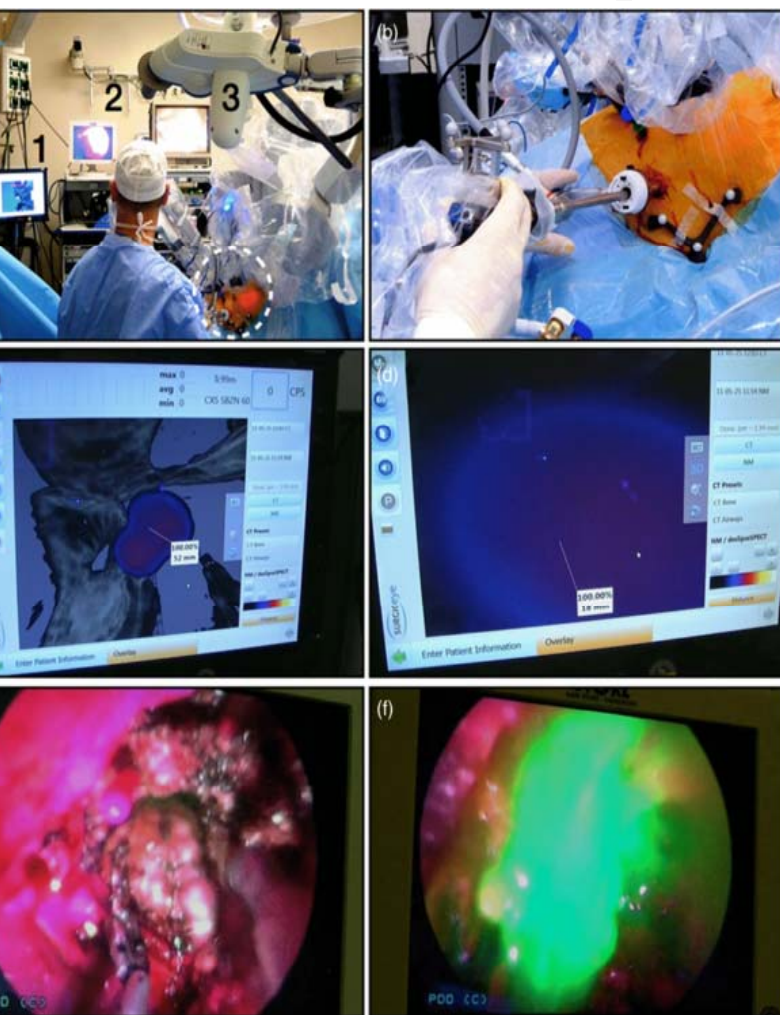
Sentinel Lymph Node

# 3D Fluorescence Tomography



Dinten JM et al, SPIE 2006

# Imagerie de fluorescence laparoscopique



Fluorescence laparoscopic navigation toward the prostate in a patient undergoing robot-assisted prostatectomy.

Oscar R Brouwer et al, Phys. Med. Biol. 2012

# Détection Photoacoustique

- Actuel:

Imagerie préclinique

- En évaluation:

Couplage avec imagerie ultrasonore

Mammographie, détection GS

- Evolution:

Couplage avec TOD/FTOD

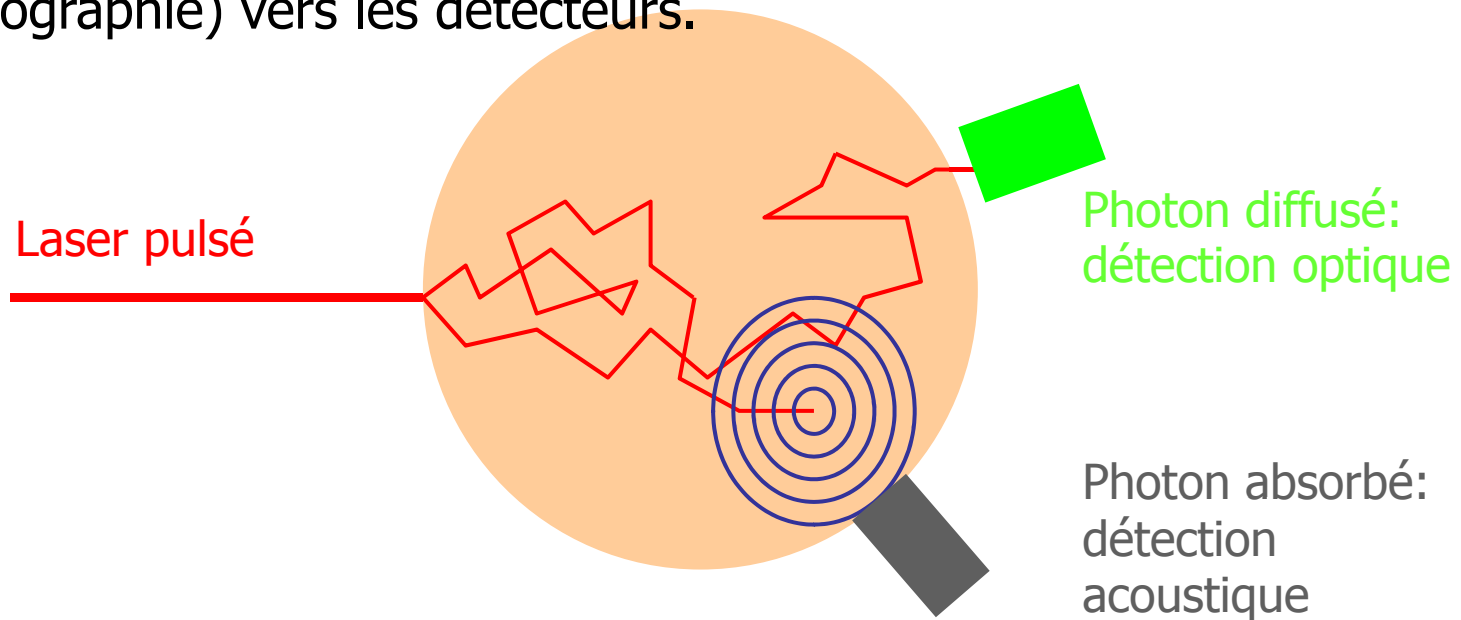
Quantification

Utilisation de nouveaux marqueurs, autre domaine EM (RF)

# Détection Photoacoustique

## Principe

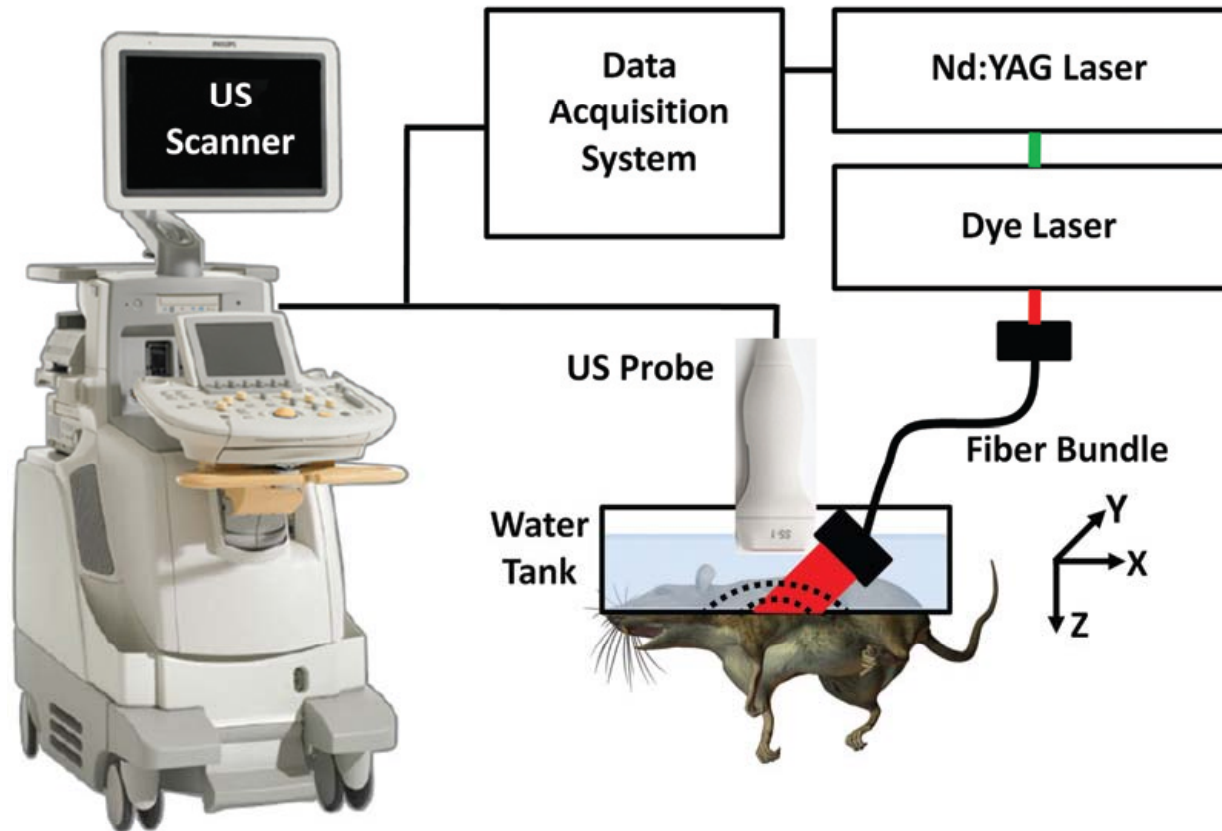
L'absorption d'une impulsion lumineuse génère un train d'onde ultrasonore. Cette onde se propage dans un milieu faiblement diffusant (cf échographie) vers les détecteurs.



Les temps d'arrivée des ondes US permettent de recalculer les cartes d'absorption: coefficient d'absorption x énergie lumineuse.

# Détection Photoacoustique

## □ Instrumentation type



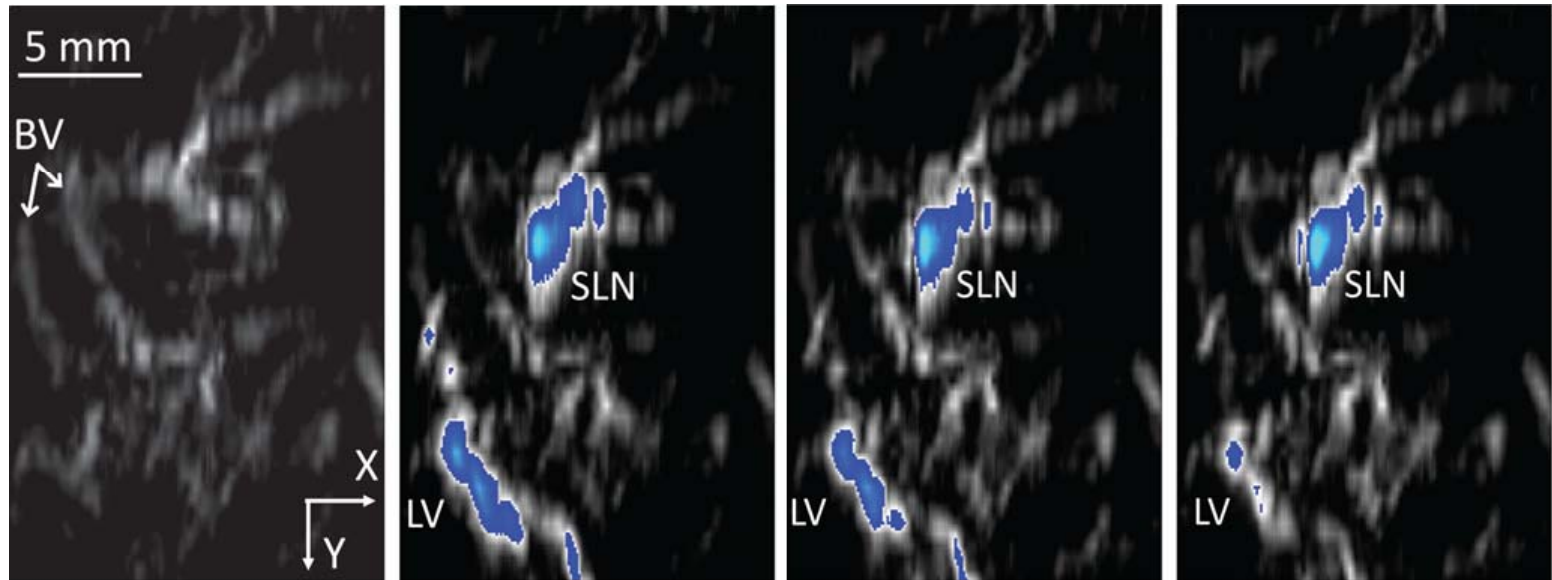
# Détection Photoacoustique

## □ Avantages et Limites

- + Résolution spatiale
- + Reconstruction + robuste (diffusion des US négligeable)
- + Possibilité de marquage
- Sensibilité
- Non Linéarité (absorption/diffusion)
- Quantification difficile
- Contact capteur US/tissus
- Puissance d'illumination requise

# Exemple: Bleu de méthylène

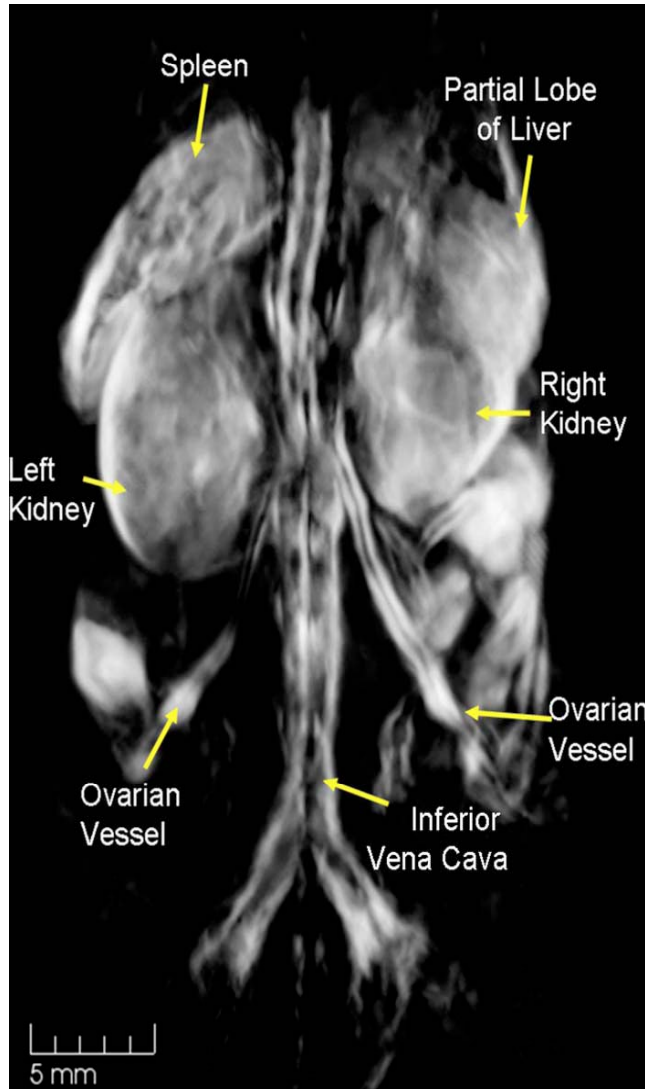
## □ Imagerie Photoacoustique du MB



In vivo coregistered photoacoustic and US images of rat axillary region.

(a) control , (b, c, d) images collected 6, 20, and 31 minutes following methylene blue injection.

# Imagerie Photoacoustique



- Three-dimensional photoacoustic volume of a nude mouse illuminated at 755 nm
- Brecht et al JBO 2009

# Molécules et nanoparticules

- Colorants disposant d'une AMM

Molécule	Dénominations	Albumine	$\lambda_{exc}$ (nm)	$\epsilon$ (mol <sup>-1</sup> .L.cm <sup>-1</sup> )	$\lambda_{em}$ (nm)	$\phi$ (%)
ICG	IC Green, Pulsion, Infracyanine	Libre	780	114.000	806	2,7
		Liée	805		825	9,3
PBV	Patent Blue V	Libre	638	120.000	660	0,05
		<b>Liée</b>	<b>640</b>	<b>100.000</b>	<b>660</b>	<b>1,5</b>
MB	Proveblue	Libre	664	84.500	690	2,0

# Molécules et nanoparticules

- Molécules fluorescentes dans le PIR (sélection)

Molécule	Type	$\lambda_{\text{exc}}$ (nm)	$\lambda_{\text{em}}$ (nm)	$\phi$ (%)
Cyanine	Cy-5	646	663	28
	Cy-7	749	774	13
Alexa	Alexa660	660	690	37
	Alexa750	750	780	12
Irdye	800CW	775	789	3.4

# Nanoparticules pour l'optique

- Grains quantiques (Quantum Dots, QD)

Coeur: nanocristal semiconducteur (CdSe ...) dont la taille détermine la longueur d'onde de fluorescence



Corr S.A. et al Nanoscale Res. Lett. 2008

Coque inorganique assure la stabilité du QD et le confinement des électrons du cœur

Solubilisation assurée par encapsulation dans des phospholipides.

# Nanoparticules pour l'optique

- Grains quantiques (Quantum Dots QD)

- Avantages:

- Absorption et rendement de fluorescence élevés

- Stabilité (pas de photodégradation)

- Taille (10-100 nm) adaptée au marquage des ganglions lymphatiques (injection sc)

- Inconvénients:

- Toxicité potentielle (Cd)

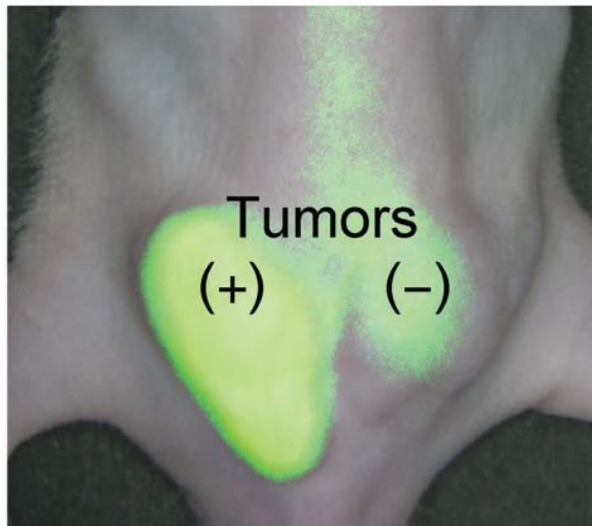
- Evolution vers des QD (à base d'indium) à toxicité réduite (Helle M. et al Plos One, 2012)

# Example: QD

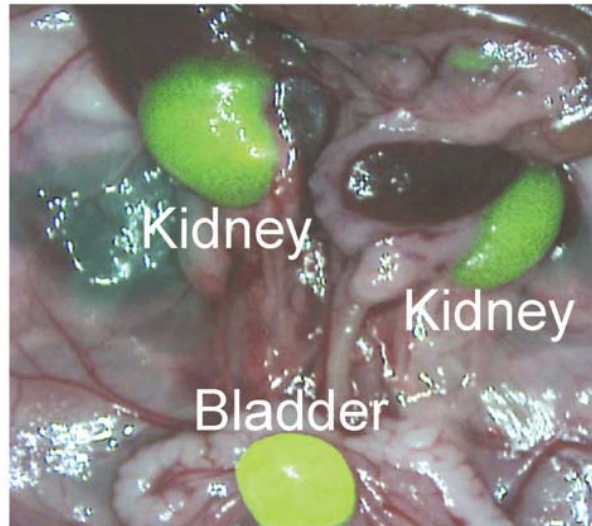
- QD with peptide targeting ligands

Injection: 10 pmol/g; imaging: 4h post injection

Prone (Intact)



Supine (Surgical)



# Nanoparticules pour l'optique

- Nanoparticules de silice renfermant des agents fluorescents

Nanoparticules de  $\text{SiO}_2$  de 5 à 100 nm,

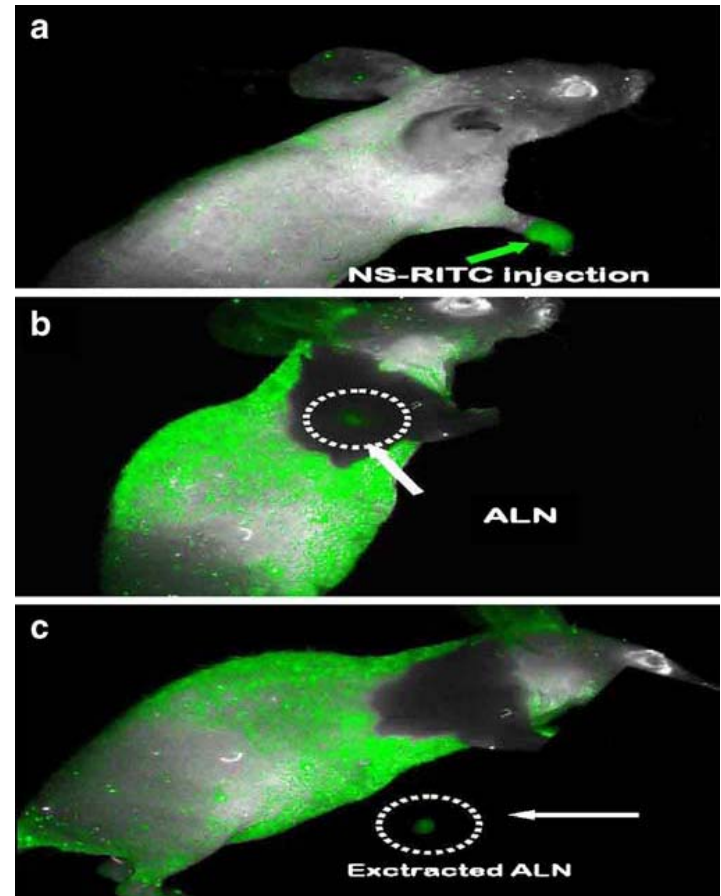
Fluorescence liée à la molécule, avec rendement amplifié

Fonctionnalisation de surface (PEG, anticorps, agents anticancéreux ...)

# Exemple: NP Silice

□ Imagerie préclinique

NP de silice + rhodamine B



Jeon Y.H. et al  
Mol. Imag. Biol. 2010

# Nanoparticules pour l'optique

- Nanoparticules d'or
- Nanoparticules d'oxydes de fer
- Nanotubes de carbone, fullerènes
- Nanoparticules organiques
  - NP lipidiques, toxicité limitée
  - albumine colloïdale, (ICG – Nanocoll)
  - liposomes
  - PFC

Review by Choi and Frangioni Mol. Imag. 2010

# Conclusions et perspectives

- Imagerie optique « profonde » en médecine
  - ✓ Alternative aux méthodes isotopiques (GS +)
  - ✓ Complémentaire des méthodes d'imagerie conventionnelle
  - ✓ Intérêt majeur dans le guidage de la chirurgie mini-invasive
  
- Avenir
  - ✓ Evolutions instrumentales (sources, détecteurs) et logicielles pour améliorer la reconstruction 3D et la quantification
  - ✓ Imagerie multimodale
  - ✓ Intérêt des agents de contraste (nanoparticules) pour améliorer la sensibilité de détection et le ciblage.

# Exemple d'évolution instrumentale

## Spectroscopie Proche Infrarouge par Imagerie Temporelle

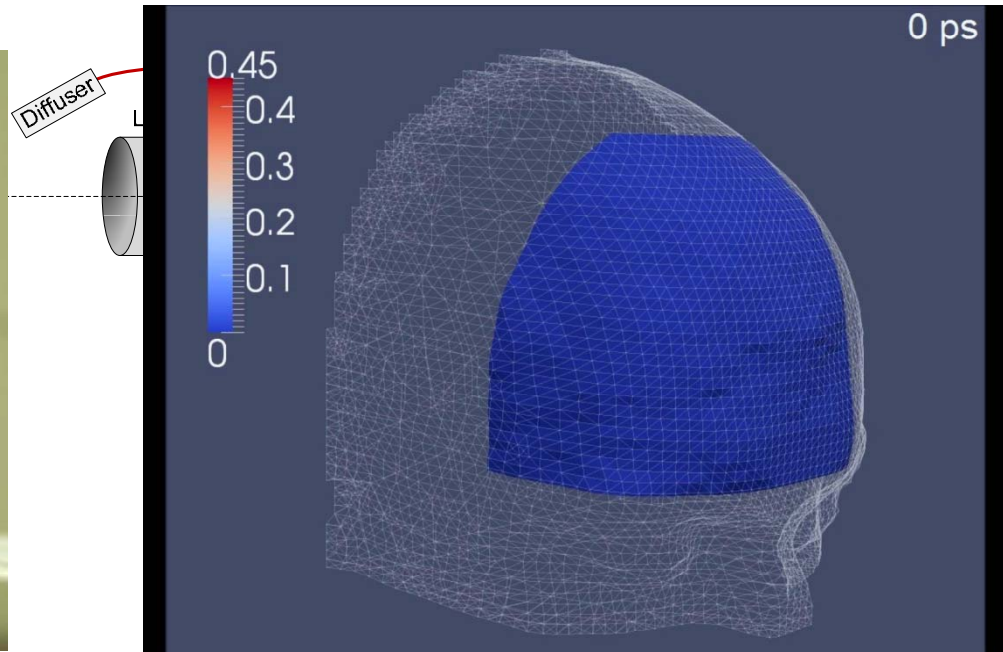
Séquenceur - 4 drivers de diodes laser picoseconde

Diffuseur frontal: éclairage d'une zone d'intérêt

Caméra à porte temporelle picoseconde      *Intensificateur MCP*



Couplage laparoscope



# Collaborations

- ❑ IPCMS

Geneviève Pourroy



- ❑ Centre Régional de Lutte Contre le Cancer de Strasbourg

Jean François Rodier

- ❑ Fluoptics Grenoble



# Remerciements

Renée Chabrier, Franklin Tellier, Murielle Torregrossa,  
Wilfried Uhring et Virginie Zint

ICUBE - Strasbourg